

**Pb(Sn<sub>1/2</sub>Nb<sub>1/2</sub>)O<sub>3</sub>-PbTiO<sub>3</sub>-PbZrO<sub>3</sub>계 세라믹스의 유전 및 초전특성에 관한 연구**  
**A Study on Dielectric and Pyroelectric Properties of**  
**Pb(Sn<sub>1/2</sub>Nb<sub>1/2</sub>)O<sub>3</sub>-PbTiO<sub>3</sub>-PbZrO<sub>3</sub> Ceramics**

명제옥* 이능현	경원대학교 전자공학과
김용혁	경원전문대 전기공학과
이덕춘	인하대학교 전기공학과

**Abstract** - In this study, x PSN - y PT - z PZ ceramics doped with w MnO<sub>2</sub> were fabricated by the mixed oxide method at 1250 [°C] for 2[hr] and then the dielectric and pyroelectric properties were investigated.

In the 0.05 PSN - 0.4 PT - 0.55 PZ specimen with 0.5[wt.-%] MnO<sub>2</sub>, the pyroelectric coefficient was 6.6 × 10<sup>-6</sup>[C/cm<sup>2</sup>·°C], respectively.

**1. 서론**

결정의 초전효과가 1938년 Y.Ta<sup>(3)</sup>에 의해 전기적 결정에서 발견된 이후 많은 연구가 진행되었다. 1960년 I.M.Silvestrova<sup>(3)</sup> 등은 TGS (Triglycine Sulfate) 결정을, 1968년 R.L.Abrams<sup>(3)</sup>는 SBN (Sr<sub>1-x</sub>Ba<sub>x</sub>Nb<sub>2</sub>O<sub>6</sub>) 결정을 이용하여 초전형 적외선센서로서의 가능성에 대해 조사하였으나 낮은 큐리온도, 친수성등의 단점을 가지고 있었다. 1973년에 R.Lane 등은 Pb(Zr, Ti)O<sub>3</sub> 세라믹스에 여러 불순물을 첨가하여 조성 및 상변화에 따른 초전특성을 연구하였다. 이와같이 Pb(Zr, Ti)O<sub>3</sub>계 세라믹스는 큐리온도가 조성에 따라 250~450°C로 비교적 높고, 유전상수도 250~400정도로 적당하여 현재 까지 압전 및 초전체로서 많은 연구가 이루어 지고 있다.

따라서 본 연구에서는 높은 초전계수를 갖는 것으로 보고된 바 있는 PSS-PT-PZ계 세라믹스에 3가인 Sb 대신 5가인 Nb를 치환하고, 안정제인 MnO<sub>2</sub>를 첨가함으로써 초전형 적외선 센서체로서 유전 및 초전특성을 조사하였다.

**2. 실험**

**2.1 시편제조**

원료분말을 조성식에 따라 전자칭(MC1 Analytic AC 210S)을 사용하여 정도 높게 평량한 후, 원료분말:증류수:ball의 비율을 1:1:1로 20[hr] Ball milling하였다. 혼합·분쇄된 시료를 건조한 후 850[°C]에서 2[hr] 유지시켜 하소하였고,

Binder(PVA 용액 0.5[wt.-%])를 완료 1[hr]전에 첨가해 제 Milling하였다. 제 건조, 분쇄시킨후 80 mesh sieve로 조립화한 분말을 ϕ 10[mm]의 원주상 용드를 사용하여 1[ton/cm<sup>2</sup>]의 압력으로 성형하였다. 2중 도가니 구조를 사용하여 1250[°C]에서 2[hr] 유지시켜 소결하였으며, 소결된 시편을 인마한 후 Silver Paste를 균일하게 도포하고 나서 560[°C]에서 5[min]간 유지시켜 전극이 유 접촉이 되게 하였다. 그 후 130[°C]의 silicon oil 내에서 DC 30[kV/cm]의 전압을 30[min]간 인가하여 분극처리하고 나서 재반복성을 조사하였다.

**2.2 물성측정**

시편의 결정립 크기, 결정입계, 기공 및 2차상의 분포등 미세구조를 관찰하기 위해 시편을 연 에칭한 후 전자현미경으로 관찰하였다. LCR-meter를 사용하여 정전용량 C 와 유전 손실 tan δ를 측정하였으며, 이를 이용하여 IRE규정에 따라 다음식으로 부터 비유전율 ε<sub>r</sub>을 계산하였다.

$$\epsilon_r = C \cdot d / \epsilon_0 \cdot A \tag{1}$$

여기서 d:두께[m], ε<sub>0</sub>:진공에서의 유전율[F/m], A:면적[m<sup>2</sup>], C:정전용량[F]

시편의 상전이 온도인 큐리온도는 항온조내에서 4[°C/min]의 승온속도로 시편을 가열하면서 정전용량의 변화로 관찰하였다. 시편을 Silicon oil내에서 2[°C/min]의 승온속도로 가열하면서 시편에서 온도변화에 의해 유기되는 자발분극의 변화량인 초전류를 electrometer로 측정하였고, 측정된 초전류로부터 초전계수 P<sub>s</sub>는 식(2)를 이용하여 계산하였다<sup>(3,4)</sup>.

$$P_s = I/A \cdot (dT/dt) \tag{2}$$

여기서 I:초전류[A], A:전극면적[cm<sup>2</sup>], dT/dt:승온속도[°C/min] 초전체의 고유한 특성값으로 표현되는 초전류, 전압 및 비검출율에 대한 평가지수 F<sub>i</sub>, F<sub>v</sub>, F<sub>D</sub>는 다음식들로 부터 계산하였다<sup>(3)</sup>. 여기서 C<sub>p</sub>는 시편의 체적비열[J/Cm<sup>3</sup>·K]이다.

$$F_i = P_s / C_p \cdot [C \cdot cm / J] \tag{3}$$

$$F_v = P_s / \epsilon_r \cdot C_p \cdot [C \cdot cm / J] \tag{4}$$

$$F_D = P_A / C_P (\epsilon_r \cdot \tan \delta)^{1/2} [C \cdot \text{cm} / \text{J}] \quad (5)$$

### 3. 결과 및 고찰

#### 3.1 소결빈도

소결온도를 1250°C로 고정하였을 때 소결빈도는 7.7~7.8로 일정하였으며, 조성변화에 의해서는 큰 영향을 받지 않는 것으로 나타났다.

#### 3.2 시편의 조성변화에 따른 유전 및 초전특성

표 1은 x PSN - y PT - z PZ(0.5[w.t.%] MnO<sub>2</sub>) 시편의 조성변화에 따른 유전 및 초전특성을 나타낸 것이다. 각 조성의 시편에 대해 PT의 첨가량이 증가할수록 유전상수가 높아지는 경향을 나타내었는데, 이는 결정격자의 이방성이 큰 PT의 증가에 따라 시편의 내부병력 증가에 따른 분극값의 증대와 조성 분배 상관계 영역으로의 근접함에 따른 것으로 생각된다.

유전손실면에서 조성변화에 따른 의존성은 관찰되지 않았으며, 0.1 PSN-0.3 PT-0.6 PZ (0.5[w.t.%] MnO<sub>2</sub>)인 시편에서 0.4[%]로 가장 낮은 값을 나타내었다.

중요한 성능지수인 초전계수는 0.05 PSN-0.4 PT-0.55 PZ(0.5[w.t.%] MnO<sub>2</sub>)인 시편에서  $6.6 \times 10^{-9} [\text{C}/\text{cm}^2 \cdot \text{C}]$ 라는 양호한 값을 나타내었고, PSN의 증가에 따라 점차 감소하였다.

조성	유전상수	초전계수	평가 지수		
			F <sub>1</sub>	F <sub>v</sub>	F <sub>D</sub>
5/25/70	446	$0.34 \times 10^{-8}$	$1.4 \times 10^{-9}$	$3.3 \times 10^{12}$	$0.08 \times 10^{-9}$
5/30/65	463	$0.3 \times 10^{-8}$	$1.2 \times 10^{-9}$	$2.6 \times 10^{12}$	$0.06 \times 10^{-9}$
5/35/60	524	$0.66 \times 10^{-8}$	$2.7 \times 10^{-9}$	$5.3 \times 10^{12}$	$0.1 \times 10^{-9}$
5/40/55	586	$6.6 \times 10^{-8}$	$27 \times 10^{-9}$	$45 \times 10^{12}$	$1.3 \times 10^{-9}$
10/25/65	557	$5.9 \times 10^{-8}$	$24 \times 10^{-9}$	$43 \times 10^{12}$	$1.4 \times 10^{-9}$
10/30/60	601	$2.7 \times 10^{-8}$	$11 \times 10^{-9}$	$18 \times 10^{12}$	$0.7 \times 10^{-9}$
10/35/55	661	$1.7 \times 10^{-8}$	$7 \times 10^{-9}$	$11 \times 10^{12}$	$0.4 \times 10^{-9}$
10/40/50	841	$2.5 \times 10^{-8}$	$10 \times 10^{-9}$	$12 \times 10^{12}$	$0.5 \times 10^{-9}$
20/25/55	505	$1.3 \times 10^{-8}$	$5.4 \times 10^{-9}$	$10 \times 10^{12}$	$0.2 \times 10^{-9}$
20/30/50	610	$0.99 \times 10^{-8}$	$4.1 \times 10^{-9}$	$6.6 \times 10^{12}$	$0.3 \times 10^{-9}$
20/35/45	726	$0.12 \times 10^{-8}$	$0.5 \times 10^{-9}$	$0.7 \times 10^{12}$	$0.02 \times 10^{-9}$

표 1 시편의 조성변화에 따른 유전 및 초전특성  
Table 1 Dielectric and pyroelectric properties with composition of the specimens

초전류 및 전압에 대한 평가지수 F<sub>1</sub>, F<sub>v</sub> 역시 초전계수와 마찬가지로 0.05 PSN-0.4 PT-0.55 PZ(0.5[w.t.%] MnO<sub>2</sub>)인 시편에서  $27 \times 10^{-9} [\text{C} \cdot \text{cm} / \text{J}]$ ,  $45 \times 10^{12} [\text{C} \cdot \text{cm} / \text{J}]$ 로 나타났고, 평가지수 F<sub>D</sub>는 전 조성의 시편보다 유전상수가 작은 0.1 PSN-0.25 PT-0.6 PZ(0.5[w.t.%] MnO<sub>2</sub>)인 시편에서  $1.4 \times 10^{-9} [\text{C} \cdot \text{cm} / \text{J}]$ 의 값을 나타내었다.

#### 3.3 MnO<sub>2</sub> 첨가량에 따른 유전특성

그림 1은 MnO<sub>2</sub> 첨가량에 따른 시편 0.05 PSN-0.4 PT-0.55 PZ의 유전상수 및 유전손실을 나타낸 것이다.

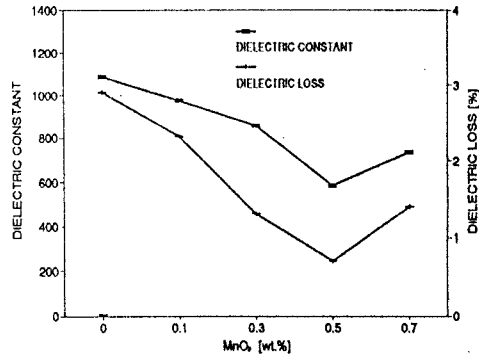


그림 1 MnO<sub>2</sub> 첨가량에 따른 시편 0.05 PSN-0.4 PT-0.55 PZ의 유전상수 및 유전손실

Fig. 1 Dielectric constant and dielectric loss with content of MnO<sub>2</sub> in the 0.05 PSN-0.4 PT-0.55 PZ specimens

MnO<sub>2</sub> 첨가량이 증가함에 따라 유전상수 및 유전손실은 감소되어 0.5[w.t.%] 첨가된 시편에서 유전상수는 586, 유전손실은 0.7[%]로 가장 낮은 값을 나타내었으며, 0.7[w.t.%]에서 다시 증가하였다. 시편의 상전이 온도인 큐리온도는 MnO<sub>2</sub> 첨가량에 변화없이 250°C로 일정하였으며, 큐리온도 부근에서의 유전상수는 MnO<sub>2</sub>의 양이 증가할수록 증가하였다. 그림 2에 MnO<sub>2</sub> 첨가량에 따른 큐리온도와 유전상수를 나타내었다.

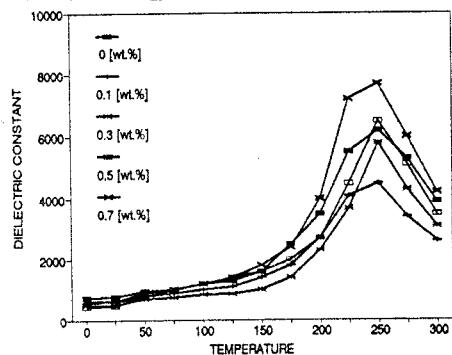


그림 2 온도 및 MnO<sub>2</sub> 첨가량에 따른 유전상수

Fig. 2 Dielectric constant with temperature and content of MnO<sub>2</sub>

### 3. 4 MnO<sub>2</sub> 첨가량에 따른 초전특성

그림 3은 MnO<sub>2</sub> 첨가량에 따른 시편의 초전계수 P<sub>3</sub>를 나타낸 것이다.

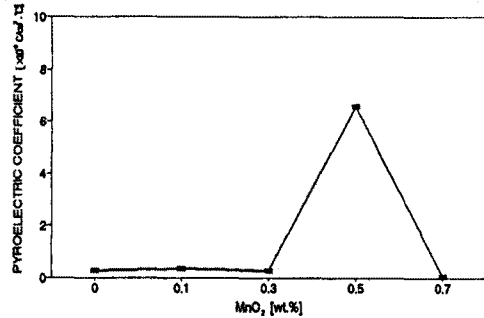


그림 3 MnO<sub>2</sub> 첨가량에 따른 초전계수

Fig. 3 Pyroelectric coefficient with content of MnO<sub>2</sub>

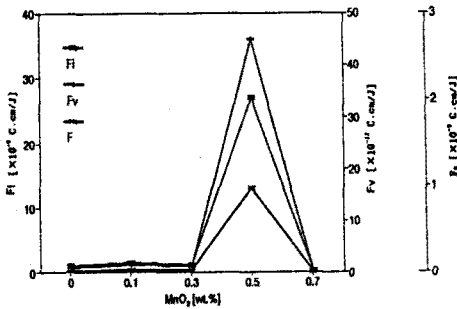


그림 4 MnO<sub>2</sub> 첨가량에 따른 평가지수

Fig. 4 Figure of merit with content of MnO<sub>2</sub>

MnO<sub>2</sub>가 0.5[wt.%] 첨가된 시편에서 초전계수는  $6.6 \times 10^{-8} [C/cm^2 \cdot ^\circ C]$ 로 증가하였고, 0.7[wt.%]에서 다시 감소하였다. 그림 4는 MnO<sub>2</sub> 첨가량에 따른 시편의 초전류, 전압 및 비검출율에 대한 평가지수로 MnO<sub>2</sub>가 0.5[wt.%] 첨가된 시편에서  $27 \times 10^{-9} [C \cdot cm/J]$ ,  $45 \times 10^{-12} [C \cdot cm/J]$ ,  $1.3 \times 10^{-9} [C \cdot cm/J]$ 로 나타났다.

### 4. 결론

$x Pb(Sn_{1/2}Nb_{1/2})O_3 - y PbTiO_3 - z PbZrO_3 - w MnO_2$  ( $0.05 \leq x \leq 0.2$ ,  $0.25 \leq y \leq 0.4$ ,  $0.45 \leq z \leq 0.7$ ,  $0 \leq w \leq 0.7$ [wt.%]) 3 성분계 세라믹스의 조성 및 MnO<sub>2</sub> 첨가량에 따른 유전 및 초전특성을 조사하여 다음과 같은 결론을 얻었다.

- 1) 각 시편의 결정립 크기는 Pb(Sn<sub>1/2</sub>Nb<sub>1/2</sub>)O<sub>3</sub> 및 MnO<sub>2</sub> 첨가량에 따라 증가하였고, PbTiO<sub>3</sub> 고용량의 증가에 따라서 감소하였다.
- 2) 유전상수는 PbTiO<sub>3</sub> 첨가량에 따라 증가하였고, MnO<sub>2</sub> 첨가량에 따라서는 감소하였으며, 0.05 PSN - 0.25 PT - 0.7 PZ (0.5[wt.%] MnO<sub>2</sub>)인 시편에서 446으로 최소값을 나타내었다. 유전손실은 MnO<sub>2</sub> 첨가량에 따라서 감소하였으며, 0.1 PSN - 0.3 PT - 0.6 PZ(0.5[wt.%] MnO<sub>2</sub>)인 시편에서 0.4[%]로 가장 낮은 값을 나타내었다.
- 3) 초전계수는 MnO<sub>2</sub> 0.5[wt.%] 첨가된 시편 0.05 PSN - 0.4 PT - 0.55 PZ에서  $6.6 \times 10^{-8} [C/cm^2 \cdot ^\circ C]$ 로 양호한 값을 나타내었다.
- 4) 초전류, 전압에 대한 평가지수는 MnO<sub>2</sub> 0.5[wt.%] 첨가된 시편 0.05 PSN - 0.4 PT - 0.55 PZ에서 각각  $27 \times 10^{-9} [C \cdot cm/J]$ ,  $45 \times 10^{-12} [C \cdot cm/J]$ , 로 나타났으며, 비검출율에 대한 평가지수는 0.1 PSN - 0.25 PT - 0.65 PZ (0.5wt% MnO<sub>2</sub>)의 시편에서  $1.4 \times 10^{-9} [C \cdot Cm/J]$ 으로 나타났다.

이상과 같은 결론으로 0.05 PSN - 0.4 PT - 0.55 PZ(0.5[wt.%] MnO<sub>2</sub>) 조성의 세라믹스는 초전형 적외선 센서 재료로서의 가능성이 기대된다.

### 참 고 문 헌

- [1] B. Jaffe, W.R Cook, Jr. and H. Jaffe, "Piezoelectric ceramics", Academic Press, London and NY,(1971)
- [2] 平尾洋在, "焦電形 赤外線 센サと その應用", 照明學會誌, 第 37 卷, 第 1 號, 11-16(1989)
- [3] 뉴-케라스리-스 "編輯委員會, "セラミックセンサ 應用技術", 學獻社, 6-32
- [4] 中本正幸, 山下洋八, 平尾洋在, 岩瀬 男, "PbTiO<sub>3</sub>系 焦電形 赤外線 센サ", 照明學會誌, 第 68 卷, 第 10 號, 36-41(1984)
- [5] R.L.Byer and C.B.Roundy, "Pyroelectric coefficient direct measurement technique and application to a NSNC response time detector", Ferroelectrics Vol.3 333-338(1972)